

東洋大学工学部 正会員 米倉 亮三

○加賀 宗考

大学院 桜井 智宏

1はじめに

注入による土の強度増加は 内部摩擦角(ϕ)に 余り変化を与えない。これに対し 粘着力(C)は 大きく改良されることなど多く研究されている。しかしながら 注入された土の引張り強度も考えた統一的な破壊規準は 余り調べられていない。このため一連の実験を進めている。前報では 2主応力セン断強度による破壊規準で整理した。今回は 3主応力を考えた破壊規準も含め 現在利用されている各種破壊規準でサンドゲル強度を整理した。また 近年新しい考え方で松岡らによって研究されているSMP面による破壊規準を粘着力のある土にも適用できるように拡大し これによる破壊規準でも整理した。その結果と相關係数などにより整理し 比較検討したので報告する。

2 試料および実験方法

サンドゲル供試体の試料は 標準砂を用いた。モールドに詰められた砂試料に CW薬液を注入して作成したサンドゲルを Inj(43%), Inj(32%)と呼ぶ。また CW薬液を人為的に砂と混せ合わせて後モールドに詰めて作成したサンドゲルを Mix(43%), Mix(32%)と呼ぶ。CW(水ガラス系溶液型)サンドゲルについて 詳しくは 韓吉2を参照されたい。LW(アルカリ懸濁液型)サンドゲルは 砂試料に注入材を人為的に混合し $\phi = 5\text{cm}$, $L = 10\text{cm}$ のモールドに詰めた。砂のみの間隙比は $D_n = 0.8, 0.6, 0.4$ と3種類とした。注入率は 32%一定とした。強度試験は CW供試体で行つた実験方法と同じである。

3 試験結果と検討

3-1 サンドゲル供試体の破壊規準

これまでに 引張り強度も考えたサンドゲル供試体の強度特性を調べるため Mohr-Coulomb の直線近似 放物破壊包絡線 ($T^2 = m^2 + (\sigma_1 - \sigma_3)$)、および修正されたGriffith の破壊包絡線などで整理し報告した。その結果 CW, LW サンドゲル供試体の 圧縮強度に関しては Mohr-Coulomb の直線近似が適用できた。しかしながら 3主応力の異方応力(拘束圧試験結果)では Mohr-Coulomb 放物包絡線 修正-Griffithなどによる破壊規準で表わすことができなかった。今回は 3主応力を考えた破壊規準も含め 整理してみた。今回用いた破壊規準を下記に示す。

$$\text{Mohr-Coulomb} \quad G_1 - G_3 = 2C \cos\phi / (1 - \sin\phi) + 2G_3 \sin\phi / (1 - \sin\phi)$$

$$\text{Extended tressca} \quad G_1 - G_3 = \alpha G_m \quad \times G_m = (G_1 + G_2 + G_3) / 3$$

$$\text{Extended von Mises} \quad \frac{1}{3} \left[(G_1 - G_2)^2 + (G_2 - G_3)^2 + (G_3 - G_1)^2 \right]^{\frac{1}{2}} = \alpha G_m$$

$$\text{Extended SMP} \quad T_{\text{ESMP}} = G_{\text{ESMP}} \frac{2}{3} \left\{ \frac{(G_1 - G_2)^2}{4G_1 E G_2 E} + \frac{(G_2 - G_3)^2}{4G_2 E G_3 E} + \frac{(G_3 - G_1)^2}{4G_3 E G_1 E} \right\}^{\frac{1}{2}} \quad \text{※ } G_{\text{E}} = G_{\text{A}} + T \\ T = C \cot\phi$$

吉中³⁾、足立⁴⁾による破壊規準は 供試体の強度を両対数表示することにより直線で整理されている。この破壊規準は 基本的に Tresca の式を用いたものである。サンドゲル供試体を吉中 足立の行つているように 両対数(対数)で整理してみた。その結果 G_m が大きくなるにつれて 測定点は 勾配がほぼ45°の直線上にプロットされた。この結果と Extended tressca の式やその他の破壊規準として適用できるならば 両対数で整理しなくとも 算術目盛で直線近似ができるものと考えた。従つて今回の報告は 全て算術目盛を用いてサンドゲル強度を整理した。

Extended SMP は 松岡により研究されている破壊規準と 粘着力のある土にも適用できるように拡大したものである。松岡によれば 3 次元空間にも、とも滑りやすい空間滑動面(SMP) があり、この面上のせん断力(T_{ESMP}) と垂直応力(G_{ESMP}) の比 (T_{ESMP}/G_{ESMP}) がある一定の値に達したとき 土が破壊するものと説明している。またこの比は 中間主応力が変化しても一定の値を示すとされている。この破壊規準は 非粘着性の土に適用され 粘着性のある土には使用できない。そのため 粘着性のある土にも適用できるように 拡大した結果を 下記のように示す。松岡によれば、3 主応力面のすべり面は $\tan(45^\circ + \phi_{max}/2) = \sqrt{G_i/G_j}$ で示されるが 粘着のある場合は $\tan(45^\circ + \phi_{max}/2) = \{(G_i+T)/(G_j+T)\}^{1/2}$ $T = C \cot\phi$ で表わされる。これを 図-1 に示す。また最大 中間 最小 主応力は次式よう

に示される。 $G_i = G_1 + T$, $G_{ij} = G_2 + T$, $G_{jE} = G_3 + T$, G_{EE} は Extended された主応力となる。これより空間滑動面上の垂直応力 (G_{ESMP})、せん断応力 (T_{ESMP}) は $G_{ESMP} = 3J_3/J_2 - T$
 $T_{ESMP} = \sqrt{J_1 J_2 J_3 - 9 J_2^2/J_2}$ となる。

CW, LW サンドゲル供試体について行なわれた三軸・一軸

Brazilian 試験結果を 前記4つの破壊規準で整理して実験結果の代表的なものを 図-2 に示す。この図に示されるように 今回行なわれた CW, LW サンドゲル供試体すべて算術目盛で 一本の直線で整理できた。これは 図より明らかである。(この直線は 最小 2乗法で整理したものである。) この直線の相関性を見るため 相関係数を求めてみた。今回整理された試験結果全部を 図-3 に示す。最も相関係数の高いのは LW-2 ($D_r=0.4$) 供試体での Mohr-Coulomb の破壊規準で 0.9 であった。その他 の相関係数は 0.95 ~ 1.0 である。この図より 特に注目されるのは 2 次元で整理された Mohr-Coulomb の相関係数は すべて低い。これに対し

Von Mises, Tresca による破壊規準は 特に 相関性がよく 相関係数は ほぼ 0.99 ~ 1.0 になった。これは Mohr-Coulomb, 放物包絡線 修正 Griffith では 当然としないに 多くの破壊規準を 2 次元で整理することにより 相当に高い相関係数をもつ直線で 破壊規準を表わすことができる。Extended SMP による計算結果 特別な特徴は 見られなかった。Von Mises, Tresca の破壊規準より 相関係数はわずか低いが これらとほぼ同じような傾向を示した。

後記 この実験を卒論として行なってくれた 高江 相馬 奈良 坂田緒君には 深く感謝の意を表します。

参考文献

- 1) 例えば 3 主応力下の土のせん断挙動に関する統一的解釈
- 2) 砂・加質サンドゲルによる応力-ひずみ特性の実験的研究 第6回国土質工学会発表会
- 3) 例えば 推積軟岩の力学特性と破壊規準 工程論文 第295号 1980年
- 4) 例えば ベキ関数による破壊規準 第1回岩盤力学シンポジウム

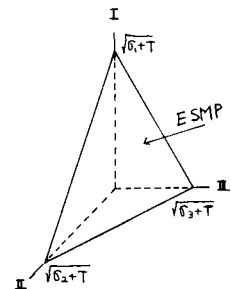


図-1

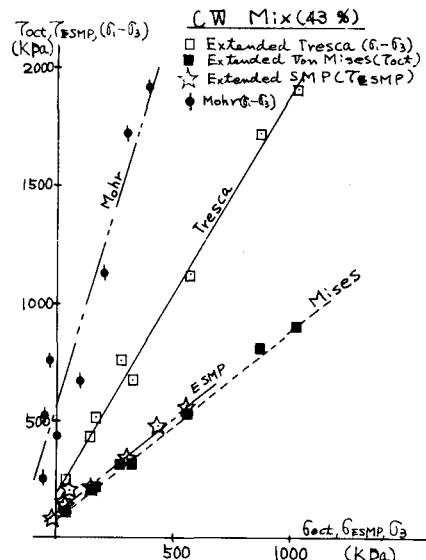


図-2 各種の破壊規準で整理したサンドゲル強度

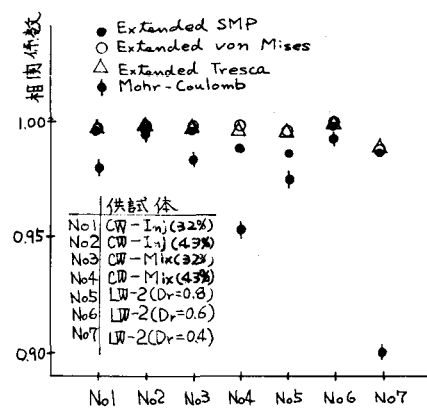


図-3 相関係数